

砂れきの掃流に影響を及ぼす河床粒度構成の特性

京都大学工学部 正員 中川 博次  
 京都大学工学部 正員 辻本 哲郎  
 京都大学大学院 学生員 ○中野 晋  
 京都大学大学院 学生員 加賀田 健司

1. まえがき 混合砂礫床の流砂問題に関しては、粒径による流送特性が異なり、必然的に非平衡状況が出現し、その結果河床粒度構成の場所的・時間的変化が見られること、また混合砂礫床工の流水に対する相対特性も充分明らかでないことなど、粒度構成と関連させて解明すべき点が多く残されている。そこで本報ではこうした問題に対して必須となる混合砂礫床面の物理的性質を、混合砂自体の粒度構成の性状と関連させて検討した結果について述べる。

2. 混合砂礫の粒度構成の基本的性質 混合砂礫床面の物理的性質、混合砂礫の流送、粗粒化の解析に当っては下表に示す分布が採用され、まずこれらの

対象試料	基準	分布	μ.d.f.	中央粒径	平均粒径	測定法
基本試料	weight basis	基本重量分布	$p(d)$	$d_{50}$	$d_m$	一般の篩分け試験
表面露出試料	number basis	表面露出面数分布	$\hat{p}(d)$	$\hat{d}_{50}$	$\hat{d}_m$	写真判定
	weight basis	表面露出重量分布	$\hat{p}(d)$	$\hat{d}_{50}$	$\hat{d}_m$	層掻き採り篩分試験

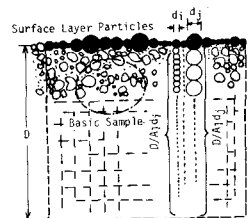


図-1 参考図

間の関係を把握することが必要である。図-1を参考に次のような変換式が導かれ、とくに基本重量分布(重量分布と体積分布は同値とみなせる)は各粒径の砂の表面での露出面積占有率を表わすことが明らかにされた。  

$$\hat{p}(d) = \{p(d)/d^3\} / \int_a^b \{p(\eta)/\eta^3\} d\eta, \quad \hat{p}(d) = p(d) \cdot d^3 / \int_a^b p(\eta) \eta^3 d\eta \quad (1)$$
 ここで、 $a, b$  はそれぞれ最小、最大粒径である。これを実験データで検討した例が図-2で、この程度の粒径では写真判定による $\hat{p}(d)$ は精度が良いが、 $\hat{p}(d)$ は一層掻き採りの困難さのため精度が悪くなっている。

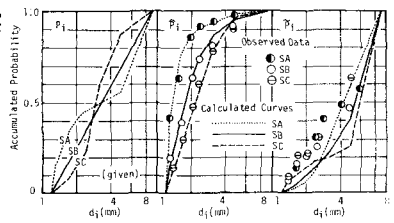


図-2 粒度分布の実例例

3. いくつかの粒度分布に対する基本特性の検討 混合砂の粒度分布性状により平均粒径と中央粒径の関係など基本的な特性が変化することが推定され、ここでは典型的ないくつかの例に対し検討を行った。粒度分布は通常片対数紙上に累積確率表示され、その形を対象に典型例を調べた。すなわち分布の対称性、粗砂分または細砂分の分布のひろがり等に注目した。なお  $\sigma_g \equiv \sqrt{d_{84}/d_{16}}$  とする。

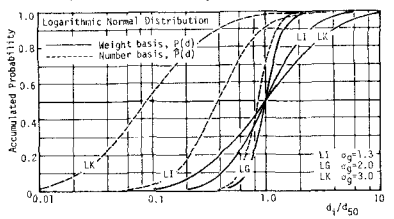


図-3 対数正規型分布

まず対数正規分布の場合(図-3参照)、

$$p(\eta)d\eta = \frac{1}{\sqrt{2\pi} \ln \sigma_g} \exp\left\{-\frac{(\ln \eta - \ln d_{50})^2}{2 \ln^2 \sigma_g}\right\} d(\ln \eta), \quad \ln \left(\frac{d_m}{d_{50}}\right) = \frac{1}{2} \ln^2 \sigma_g$$

$$\hat{p}(\eta)d\eta = \frac{1}{\sqrt{2\pi} \ln \sigma_g} \exp\left\{-\frac{(\ln \eta - \ln d_{50})^2}{2 \ln^2 \sigma_g}\right\} d(\ln \eta), \quad \ln \left(\frac{\hat{d}_m}{d_{50}}\right) = -\frac{3}{2} \ln^2 \sigma_g$$

が得られ、また図-4に示すように、累積分布が片対数紙上で直線となるタイプ(OPQR型)の場合、

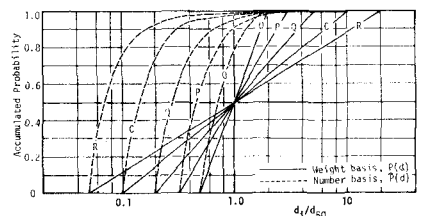


図-4 OPQR型分布

$$p(\eta) = (0.34/\ln \sigma_\eta)^{-1/2}, \quad \hat{p}(\eta) = \frac{2}{\sigma_\eta} (\sigma_\eta^{-2.94} - \sigma_\eta^{-2.94})$$

$$\frac{d_m}{d_{50}} = \frac{\sigma_\eta^{1.47} - \sigma_\eta^{-1.47}}{2.94 \ln \sigma_\eta}, \quad \hat{d}_m = \frac{2}{\sigma_\eta^{1.47} + \sigma_\eta^{-1.47}}, \quad \hat{d}_{50} = \sqrt{\frac{2}{\sigma_\eta^{2.94} + \sigma_\eta^{-2.94}}}$$

が得られる。なお分布の裾野の広がり(の違うものとして図6に示すようなN, W砂、細砂分と粗砂分とで分布の広がり異なるものとして図7に示すようなF, R砂についても検討し、結局次の結果を得た。すなわち粒度分布の広がり大きいと  $d_m/d_{50}$ ,  $\hat{d}_m/d_{50}$  などの  $\sigma_\eta$  に対する変化は顕著となり、とくに粗砂分の広がり  $d_m/d_{50}$  に、細砂分のそれが  $\hat{d}_m/d_{50}$  をいかに正規特性に強く影響する。

#### 4. 混合砂礫床面での粒径別存在高さ及びぬけ出し角の分布

混合砂礫の床面特性を表わす基本的なもの  $\hat{p}(d)$  であるが、より具体的に粒径別境界掃流力をいかに掃流域構の検討を行うに当り、各粒径粒子の存在高さ及び相対位置指標としてのぬけ出し角と混合砂礫自体の性質との関連を明らかにしておくことが重要である。そこで対数正規型及びOPQR型の分布

に従って混合砂礫について数値シミュレーションによる検討を行った。シミュレーションは片走の分布に従って表面露出砂を1列に並べ、これに上載可能な各粒径粒子の存在高さ及びぬけ出し角の値を約200個を得た。これらの原点は最初に1列に並べた粒子中心を結ぶ直線である。シミュレーションによる

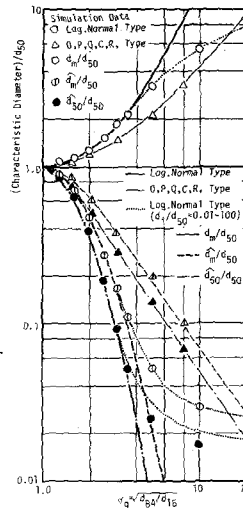


図5 対数正規型・OPQR型混合砂の特性

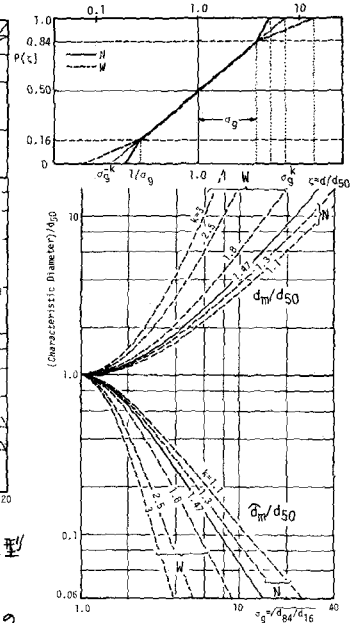


図6 N, W砂の特性

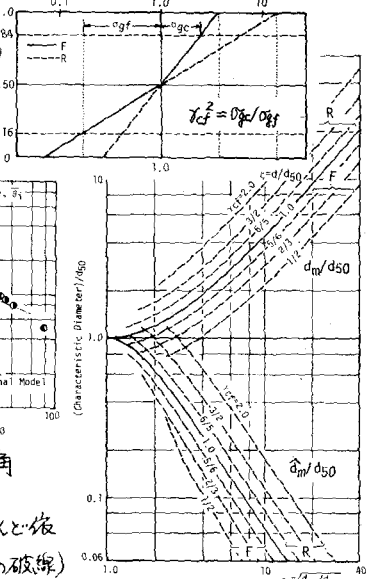


図7 F, R砂の特性

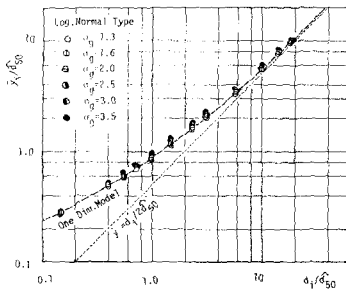


図8 粒径別平均存在高さ

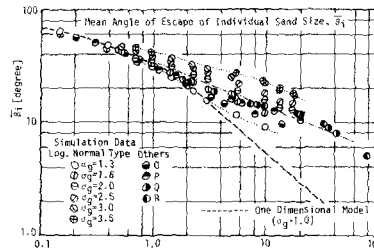


図9 粒径別平均ぬけ出し角

結果の数値は図8~10に示される。粒径別平均存在高さ  $\bar{p}(d)$  はほとんど依存せず、 $\hat{d}_{50}$  から成る均一砂床に上載される混合砂礫に対する理論式(図の破線)

$$\bar{p}(d)/\hat{d}_{50} = \sqrt{\{(d_i/\hat{d}_{50})^2 + 1\}^2 - 1}/2 \quad \text{と良く合致している。一方粒径別平均ぬけ出し}$$

角  $\bar{\beta}(d)$  は粒径とともに減少し、その度合は  $\sigma_\eta$  が大きい程変化やかである。また  $\{\beta_i\}$ ,  $\{\beta_i\}$  のばらつきを変動係数を指標として調べると  $\{\beta_i\}$  の方のばらつきが大きいことかわかる。さらに  $\{\beta_i\}$ ,  $\{\beta_i\}$  の相関係数を求めるとかなり小さく、これを独立に扱ってよいと推定される。

5. あとがき 本研究で得られた知見を混合砂礫床の抵抗則、流送域構等の解明に活かしていくことが重要で、これについても研究を進めている。

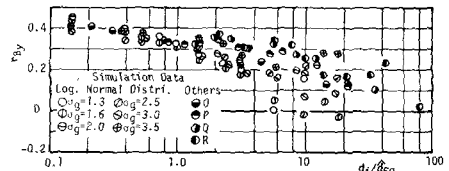


図10 粒径別の  $\{\beta_i\}$ ,  $\{\beta_i\}$  の相関係数,  $r_{\beta_i}$